



UNIVERSIDADE D  
COIMBRA

# NOISE SIMULATION FOR THE IMPROVEMENT OF PRINTER-PROOF STEGANOGRAPHY

Telmo Dias Cunha

Mestrado em Engenharia Eletrotécnica e de Computadores.

Setembro de 2023



## Contextualização

- Atualmente, retratos faciais são largamente utilizados como método de verificação de identidade. Desta forma, questões de segurança emergiram, devido a crimes de falsificação de documentos e fraude.
- Tecnologias inovadoras como a identificação por radiofrequência (RFID), marca de água e esteganografia permitiram o avanço da segurança digital.
- Esteganografia resistente à impressão permitiu melhorar e criar medidas de segurança que melhoraram a integridade dos documentos de identificação.
- Simulação de ruído presente no ambiente print-scan permite verificar e melhorar a robustez dos documentos de identificação, como também permite ensinar as redes a distinguir ruído, informação e a imagem original.

## Motivação

- Como podemos melhorar a segurança dos nossos dados nos documentos de identificação e a sua integridade, na era da tecnologia avançada?
  - ❖ Marca de água que salvaguarda os direitos de autor.
  - ❖ Soluções ponta a ponta de esteganografia que melhoram a segurança de imagens pela ocultação de uma mensagem secreta, através do processo de codificação e descodificação.
  - ❖ Simulação de ruído oferece uma oportunidade para melhorar a robustez das soluções ponta a ponta.
- Indústria e investigadores desenvolveram novos métodos de segurança e ao mesmo tempo surgem novos esquemas de fraude, tornando-se um desafio.

## Definição do Problema

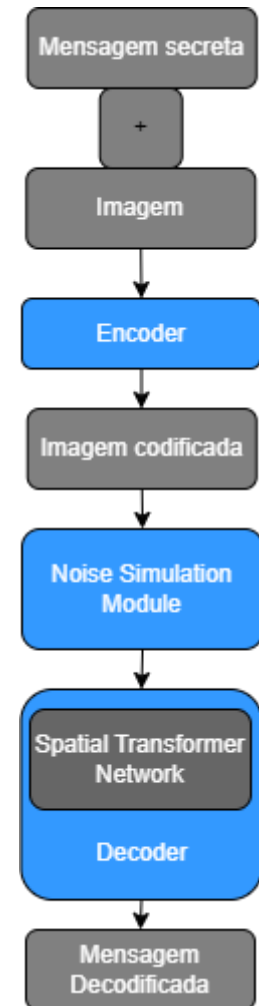
- O módulo de simulação de ruídos de soluções de esteganografia ponta a ponta apresentam pouca robustez durante o processo de impressão e digitalização.
  - ❖ Gama de cores limitada em impressoras.
  - ❖ Distorções introduzidas pela a câmara durante o processo de captura.
  - ❖ Perturbações provenientes do processo de compressão para JPEG.
- Distorções causadas pela incompatibilidade de dispositivos.

## Objetivos

- Melhorar e desenvolver a esteganografia resistente à impressão através da simulação de ruído.
- Desafios propostos:
  - ❖ Atingir uma taxa de sucesso perto de 90%.
  - ❖ Aumentar a resistência do modelo enquanto se mantêm a sua performance.

## Base (StegaStamp [1])

- Arquitetura do modelo:
  - ❖ **Encoder:** Coloca mensagem secreta numa parte específica da rede.
  - ❖ **Decoder:** Recupera a mensagem secreta presente na imagem.
  - ❖ **Spatial Transformer Network:** Seleciona uma parte específica da imagem, como também retifica a imagem das suas transformações.
  - ❖ **Simulação de ruído:** Cria um ambiente realista para a rede durante a fase de treino.



[1] Matthew Tancik, Bem Mildenhall, and Ren Ng. StegaStamp: Invisible hyperlinks in physical photographs. In Proceedings of the IEEE/CVF conference on computer vision and pattern recognition, pages 2117-2126, 2020.

## Simulação de ruído

- **Planckian Jitter:** Centra-se nas variações de iluminação para uma precisão mais exata da tonalidade e saturação.
- **Poisson noise:** Incerteza na medição da luz devido à natureza quantizada da luz e à independência da deteção de fótons.





## Simulação de ruído (cont.)

- **Dark noise:** Incerteza na dark current devido a flutuações estatísticas nos elétrons gerados termicamente.
- **Speckle noise:** Ruído granular que degrada a qualidade da imagem devido à interferência entre wavefronts em sistemas de imagem.



## Simulação de ruído (cont.)

- **Misregistration noise:** Simula o ruído que resulta do desalinhamento dos canais da imagem.
- **Motion Blur:** Efeito óptico causado pelo movimento do objeto durante a abertura do obturador da câmara.



## Simulação de ruído (cont.)

- **Posterization:** Simplifica a tonalidade de uma imagem para áreas planas distintas, reduzindo o número de tons.
- **Plasma Brightness:** Refere-se a uma variação aleatória do brilho que afeta uma imagem, resultando numa imagem com padrões aleatórios.



## Dual Contrastive Loss

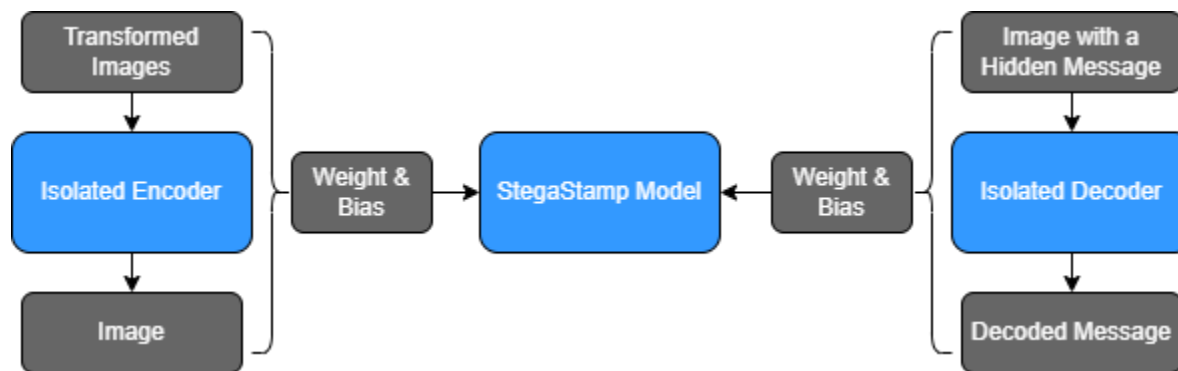
- Tem como objetivo mapear amostras semelhantes mais próximas umas das outras e amostras diferentes mais afastadas no espaço de incorporação.
- Constituído por dois componentes chaves: pares positivos e pares negativos.

## Data augmentation

- **Métodos Convencionais:** Aplicação de combinação de transformações.
- **Neural Style Transfer:** Cria uma nova imagem através da extração do conteúdo e estilo de imagens diferentes a partir de uma rede neuronal profunda pré-treinada.

## Self-Supervising learning (SSL)

- Permite que o modelo aprenda a representação dos dados sem labels manuais.
- **Encoder:** Constituído por uma rede U-net, permite a realização de um problema de restauração da informação.
- **Decoder:** Abordar-se uma SSL de forma a melhorar o processo de descodificação a partir de um dataset com mensagens ocultas.

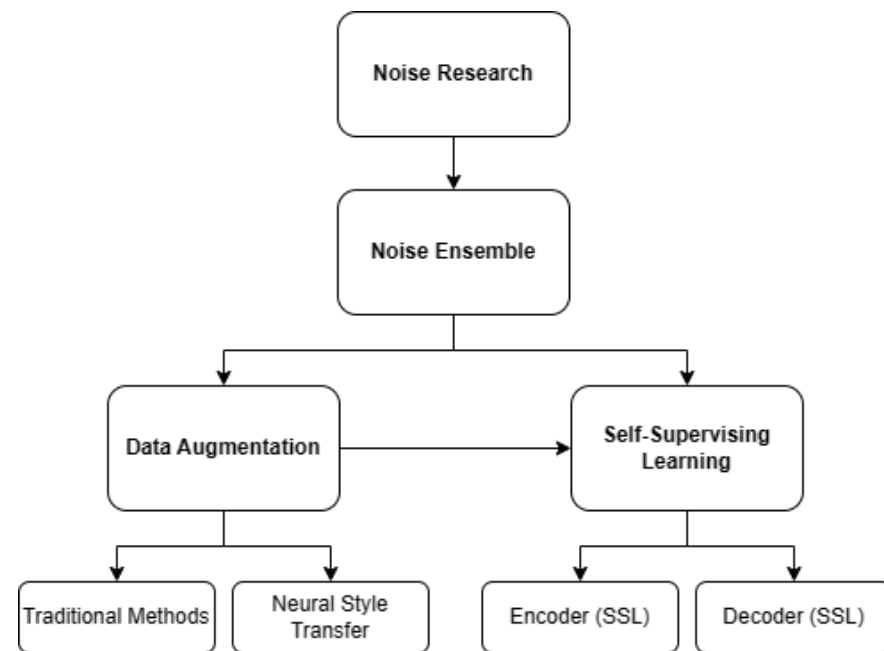


## Métricas

- **Structural Similarity Index (SSIM):** Avalia a informação estrutural, a luminância e as semelhanças de contraste entre imagem de referência e a imagem distorcida.
- **Peak Signal-to-Noise Ratio (PSNR):** Avalia a qualidade de uma imagem comparando os seus pixéis com a imagem de referência para identificar distorções.
- **Taxa de descodificação:** Quantifica o número de imagem codificadas que foram descodificadas com sucesso.

## Plano de Simulação

- **Noise research:** Investiga e avalia o impacto do ruído no modelo, durante o processo print-scan.
- **Noise Ensemble:** Avalia o modelo sob a influência de vários ruídos.
- **Data Augmentation:** Melhora a performance do modelo consoante o aumento gradual de amostras no dataset.
- **Self-Supervising Learning:** Melhora a performance do modelo usando Self-Supervising Learning em partes específicas do modelo e avalia a sua eficácia.

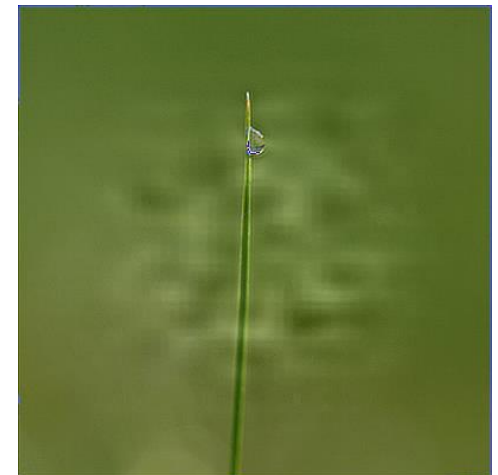


## Datasets

- **MIRFLICKR dataset:** Utilizado para treinar o modelo StegaStamp.
- **JMiPOD dataset:** Utilizado com o propósito de criar um problema para o decoder de forma a permitir o uso de SSL.

## Condições de Teste

- Testado em ambiente digital.
- Tamanho das imagens: 400\*400.
- Qualidade da imagem: 70-300 dpi (dots per inch).
- Qualidade da imagem(codificada): 96 dpi.





## Resultados Base

- Base 1 e Base 2 representam o teste base com e sem a utilização de Spatial Transformation Network, respetivamente.

| Test   | Epochs  | Decoding rate |
|--------|---------|---------------|
| Base 1 | 140,000 | 70.3%         |
| Base 2 | 140,000 | 80.4%         |

- A incorporação de STN no modelo aumenta significativamente a complexidade do modelo.

## Ruído individual

| Noise           |               |                  |          |                 |
|-----------------|---------------|------------------|----------|-----------------|
|                 | Posterization | Planckian Jitter | Poisson  | Misregistration |
| Decoding rate   | 75,1%         | 78,7%            | 79,9%    | 84,6%           |
| $\Delta$ Base 1 | ↑ 4,8 pp      | ↑ 8,4 pp         | ↑ 9,6 pp | ↑ 14,3 pp       |
| SSIM            | 0,71          | 0,72             | 0,68     | 0,69            |
| PNSR            | 52,0          | 52,3             | 51,6     | 51,8            |

| Noise           |          |                   |             |          |
|-----------------|----------|-------------------|-------------|----------|
|                 | Dark     | Plasma Brightness | Motion Blur | Speckle  |
| Decoding rate   | 77,1%    | 74,8%             | 78,7%       | 80,0%    |
| $\Delta$ Base 1 | ↑ 6,8 pp | ↑ 4,5 pp          | ↑ 8,4 pp    | ↑ 9,7 pp |
| SSIM            | 0,69     | 0,68              | 0,70        | 0,69     |
| PNSR            | 63,7     | 63,5              | 64,1        | 63,9     |

- Impacto de cada ruído no modelo varia de acordo com a sua influência na imagem, como também com a sua natureza.
- O modelo encontra-se no seu estado de melhor performance.

## Grupo de ruídos

- Grupo 1: Posterização, Planckian Jitter e Poisson noise.
- Grupo 2: Grupo 1 com a adição de Misregistration noise.
- Grupo 3: Grupo 2 com a adição de Motion Blur.

| Noise group | Epochs  | Decoding rate | $\Delta$ Base 1 | SSIM | PSNR |
|-------------|---------|---------------|-----------------|------|------|
| Group 1     | 140.000 | 81,4%         | ↑ 11,1 pp       | 0,71 | 64,4 |
|             | 180.000 | 78,3%         | ↑ 8,0 pp        | 0,69 | 51,7 |
|             | 140.000 | 83,6%         | ↑ 12,3 pp       | 0,69 | 57,9 |
| Group 2     | 180.000 | 81,3 %        | ↑ 11,0 pp       | 0,69 | 63,9 |
| Group 3     | 160.000 | 79,1%         | ↑ 8,8 pp        | 0,71 | 51,8 |
|             | 180.000 | 74,6%         | ↑ 4,3 pp        | 0,70 | 51,9 |

- O aumento do número de ruídos é acompanhado por uma redução do desempenho global do modelo.
- Desenvolvimento de um algoritmo complementar com o objetivo de equilibrar as influencias de cada fonte de ruído e diminuir a influência do método tentativa e erro.

## Data Augmentation

| Noise combination | Epochs  | Decoding rate | $\Delta$ Base 1 | SSIM | PSNR |
|-------------------|---------|---------------|-----------------|------|------|
| Group 1           | 140.000 | 83,0 %        | ↑ 12,7 pp       | 0,73 | 52,4 |
| Group 2           | 180.000 | 82,3 %        | ↑ 12,0 pp       | 0,69 | 51,9 |
| Group 3           | 160.000 | 81,7 %        | ↑ 11,4 pp       | 0,70 | 52,0 |

### Resultados obtidos com Grupo 1

| Dataset size | Decoding rate | $\Delta$ Base 1 | SSIM | PSNR |
|--------------|---------------|-----------------|------|------|
| 100.000      | 83,7 %        | ↑ 13,4 pp       | 0,71 | 52,1 |
| 200.000      | 80,0 %        | ↑ 9,7 pp        | 0,73 | 52,4 |

- A duplicação de amostras presente no dataset produz um crescimento modesto de 2pp.
- O aumento de amostras no dataset para 100.000 e 200.000 revela resultados poucos satisfatórios.

## Data Augmentation (cont.)

- O uso de Neural Style Transfer provou ser inadequada, uma vez que as imagens obtidas apresentavam uma qualidade inferior ou estruturas inadequadas para o problema em questão.



## Self-Supervising learning

- Resultado obtidos com o Grupo 1 com a utilização de pré-treino no encoder.

| Decoding rate | $\Delta$ Base 1 | SSIM | PSNR |
|---------------|-----------------|------|------|
| 82,7 %        | ↑ 12,4 pp       | 0,71 | 58,3 |

- **Encoder:**
  - ❖ Apesar do resultado ser satisfatório, demonstra necessidade de ajustamento dos parâmetros do modelo.
- **Decoder:**
  - ❖ Não foi possível obter resultados com a implementação de SSL.
  - ❖ O dataset escolhido apresentava mensagens ocultas com diferentes tamanhos.
  - ❖ Desempenho inadequado do processo de recuperação de imagens à priori.

## Análise global

- Resultados obtidos revelam a eficácia do plano de simulação definido.
- A escolha de um dataset diferente com mais amostras pode resultar em melhores valores.
- Desenvolver uma abordagem que diminua a influência de tentativa e erro.
- Em comparação com o estado da arte, Self-Supervising learning constitui uma nova abordagem.
- A realização do processo de esteganografia em ambiente físico permite uma melhor avaliação da eficácia das hipóteses desenvolvidas.

## Conclusão

- Simulação de ruído provou ser um método robusto e eficiente para melhorar a esteganografia à prova de impressão.
- Ilustra o desafio de aumentar a robustez do sistema sem comprometer o desempenho do modelo.
- O estudo desenvolvido contribuiu para a melhoria da esteganografia resistente à impressão através do desenvolvimento do módulo simulação de ruído.



## **Agradecimentos**

Professor Ph.D Nuno Gonçalves

Ph.D. Luiz Schirmer

VIS Team do Instituto de Sistemas e Robótica

Departamento de Engenharia Eletrotécnica e de Computadores

Universidade de Coimbra